

Tabla de contenidos

Tabla de contenidos	1
1. Introducción	2
2. Hipótesis	3
3. Objetivos	3
3.1. Objetivo general	3
3.1.1. Objetivos específicos	3
4. Metodologías	3
4.1. Enviar energía SAI al agua.	3
4.2. Técnicas de caracterización	4
4.2.1. Medición de pH	4
4.2.2. Análisis infrarrojo	4
4.2.3. Análisis absorción UV-Vis e infrarrojo cercano	4
5. Resultados y discusión	5
5.1. Análisis infrarrojo	5
5.2. Medición de pH	9
5.3. Análisis de absorción UV	10
6. Conclusión	11
7. Referencias	12
8. Declaración del análisis experimental	13

1. Introducción

La Energía de Sanación con amor inocente (SAI) es una energía de iluminación, creación y sanación. Esta es de una alta vibración, previa a la del Amor Incondicional. Es para poder impulsar tu evolución espiritual y/o emocional lo que puede activar tu sanación física, si tu alma lo permite, a través de la Reconexión con la Madre Tierra y sus planos internos. Al recibir esta poderosa energía se te transmutarán todas las entidades y energías negativas que formaste inconscientemente en tu campo energético por apego a las emociones de dolor de tus padres guardadas en tu mente programada. Pudiendo entonces brotar en ti un sentimiento o estado de Amor Inocente

Esta sanación te ayuda a abrir el corazón al punto de que el amor empiece a brotar de uno mismo, aumentando día a día el nivel vibratorio y de amor. O sea, las personas podrán experimentar un amor mayor hacia sí mismos.

Los resultados de la sanación serán a veces distintos de acuerdo al nivel de consciencia y evolución de cada uno y de acuerdo a la necesidad de cada cual.

Quizás muchas veces el humano al no ver esta energía como algo físico que se pueda percibir por nuestros 5 sentidos básicos, cree que esta energía no existe o no genera ningún cambio en las personas. Sin embargo, como se mencionó anteriormente la percepción de esta energía esta ligado al nivel de consciencia de cada individuo.

Por esta razón es que se ha pensado que, al buscar evidencia ligada a algo establecido por la mente común, como lo es la ciencia, se podría demostrar la existencia de esta energía por los cambios que pueda inducir en los seres vivos.

Por esta razón, esta experiencia tiene como objetivo demostrar los efectos de la energía SAI sobre las personas, utilizando como material de referencia el agua, usando como canal de esta energía a personas como Carolina y Jorge, quienes llevan mucho tiempo experimentado y canalizando esta energía de Sanación de amor inocente (SAI). En este trabajo se utilizarán técnicas e instrumentos de fácil acceso en un laboratorio para analizar

los cambios que puedan generarse en las personas, a través de lo que se pueda percibir en el agua una vez que la energía SAI es recibida por este objeto físico.

2. Hipótesis

El agua con energía SAI presentará cambios físicos y/o químicos en comparación al agua sin esta energía, que pueden ser detectable con instrumentos analíticos de fácil acceso en un laboratorio químico.

3. Objetivos

3.1. Objetivo general

Comparar el agua con energía SAI y el agua sin esta energía mediante diferentes técnicas de caracterización físicas y/o químicas.

3.1.1. Objetivos específicos

- Determinar el cambio de pH entre el agua antes y después de recibir la energía SAI, mediante un electrodo de pH
- Obtener el espectro infrarrojo de ambos estado del agua sin y con energía SAI
- Medir la absorción del agua en el rango UV-Vis e infrarrojo y obtener el respectivo espectro para el agua sin y con energía SAI.

4. Metodologías

4.1. Enviar energía SAI al agua.

Primero se lleno un frasco de vidrio de 30 mL con tapa, con agua destilada producida en el laboratorio mediante un proceso de destilación sencilla. Previamente se realizaron todos los análisis correspondiente de pH, Infrarrojo y UV-Vis, del agua destilada antes de recibir la energía SAI. Terminado este proceso, Carolina y Jorge, enviaron energía SAI a esta agua contenida en el frasco por tiempo estimado de 30 minutos. Luego de esto se realizaron todas las medidas a esta agua, que se llamó Agua con energía SAI.

4.2. Técnicas de caracterización

4.2.1. Medición de pH

Para determinar el pH del agua se utilizó un instrumento medidor de pH de la marca Thermo scientific modelo Orion star serie A111. El electrodo de pH fue calibrado con buffer de pH 7 y pH4 de la marca Thermo scientific a temperatura ambiente.

Para el procedimiento se adicionó agua destilada a un vial de vidrio limpio con tapa de 30 mL, luego se procedió a medir el pH de esta agua. Después de esto Jorge y Carolina enviaron energía SAI por 30 min (en este caso desde una distancia aproximada de 25 Km) al agua contenida en el vial y se midió el pH por segunda vez. Después de 24 h se realizó la tercera medida de pH del agua con SAI. En resumen, se obtuvieron tres medidas de pH antes de recibir la energía SAI, inmediatamente después de los 30 min de cargar el agua con energía SAI y a las 24 h de recibir esta energía.

4.2.2. Análisis infrarrojo

Los espectros de espectroscopia infrarroja con transformada de Fourier (FT-IR) fueron obtenidos con un espectrofotómetro de la marca Jasco modero 4600, equipado con un accesorio de ATR. La medias fueron realizada a temperatura ambiente en el rango entre 400 cm^{-1} and 4000 cm^{-1} . Para el procedimiento primero se analizó el agua sin energía SAI y luego se analizó la misma agua con la energía SAI. En resumen, se obtuvieron dos espectros FT-IR que llamamos H₂O (agua destilada sin energía SAI) y H₂O_SAI (agua destilada con energía SAI). Después de 24 horas se analizó nuevamente el H₂O_SAI para obtener el espectro H₂O_SAI_23-09-22.

4.2.3. Análisis absorción UV-Vis e infrarrojo cercano

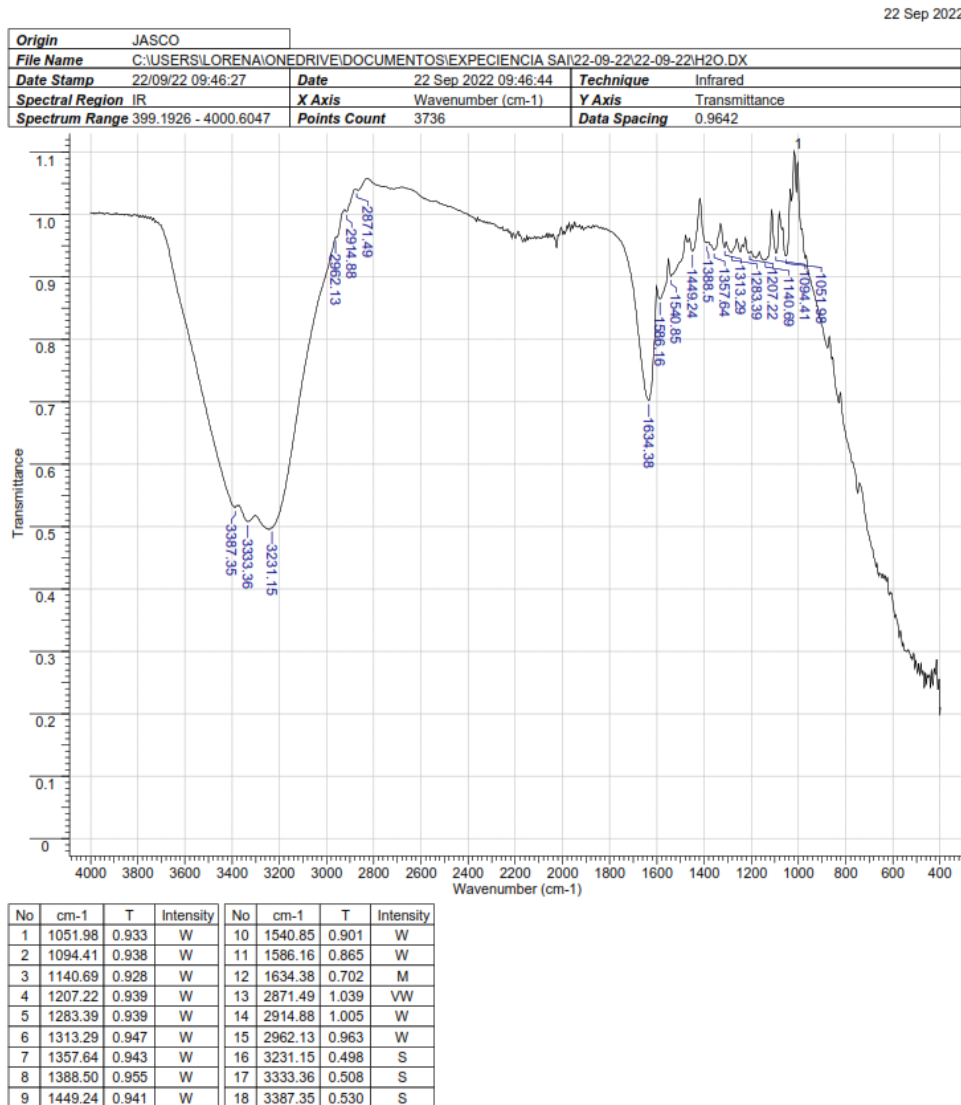
Los espectros de absorción en el rango UV-Vis e infrarrojo cercano fueron obtenidos con espectrofotómetro UV-vis - Jenway 6715. Para el procedimiento primero, se realizó la medida de una muestra blanco que consistió en una cubeta de poliestireno de paso óptico 1 cm vacía, a esto le llamamos línea base. Después se sacó una alícuota de 4 mL del agua destilada del vial de vidrio de 30 mL, antes de recibir la energía SAI, y se adicionó a la

cubeta de poliestireno, para obtener el espectro de absorción entre 300 nm y 1100 nm. Luego se realizó la misma medida, pero con el agua destilada con energía SAI.

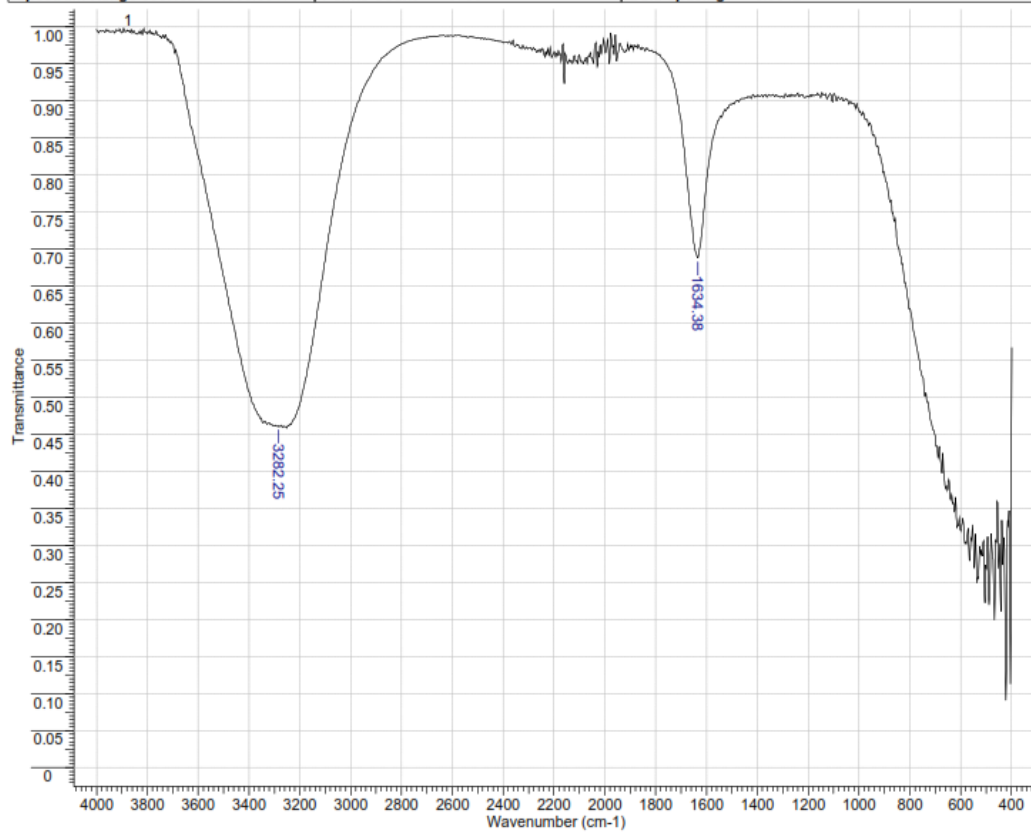
5. Resultados y discusión

5.1. Análisis infrarrojo

Se realizaron análisis de infrarrojo a el agua destilada contenida en un frasco de 30 mL sin energía SAI (Figura 1), con energía SAI el mismo día que se realizó la experiencia SAI (Figura 2) y con energía SAI al día siguiente que se envió la energía SAI (Figura 3).

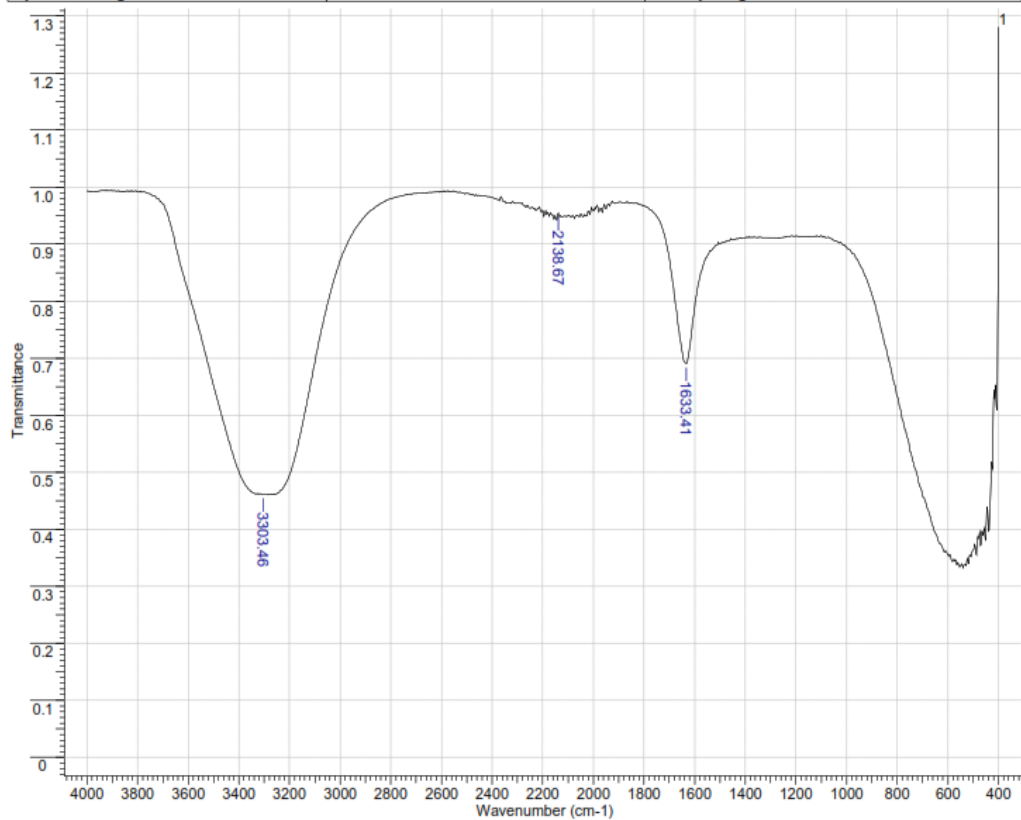


Origin	JASCO		
File Name	C:\USERS\LORENA\ONE\DRIVE\DOCUMENTOS\EXPECIENCIA SAI\22-09-22\22-09-22\H2O_SAI.DX		
Date Stamp	22/09/22 10:49:49	Date	22 Sep 2022 10:50:02
Spectral Region	IR	X Axis	Wavenumber (cm-1)
Spectrum Range	399.1926 - 4000.6047	Points Count	3736
		Y Axis	Transmittance
		Data Spacing	0.9642



No	cm-1	T	Intensity
1	1634.38	0.688	M
2	3282.25	0.461	M

Origin	JASCO		
File Name	C:\USERS\LORENA\ONEDRIVE\DOCUMENTOS\EXPECIENCIA SAI\22-09-23\22-09-23\H2O_SAI_23-09-22_2 MEDIDA.DX		
Date Stamp	22/09/23 19:19:45	Date	23 Sep 2022 19:19:52
Spectral Region	IR	X Axis	Wavenumber (cm-1)
Spectrum Range	399.1926 - 4000.6047	Points Count	3736
		Y Axis	Transmittance
		Data Spacing	0.9642



No	cm-1	T	Intensity
1	1633.41	0.690	S
2	2138.67	0.954	M
3	3303.46	0.461	S

En la Figura 4 se representa los modos vibracionales de la molécula de agua, el modo de estiramiento simétrico (Figura 4a), modo de flexión (Figura 4b) y el modo de estiramiento asimétrico (Figura 4c).

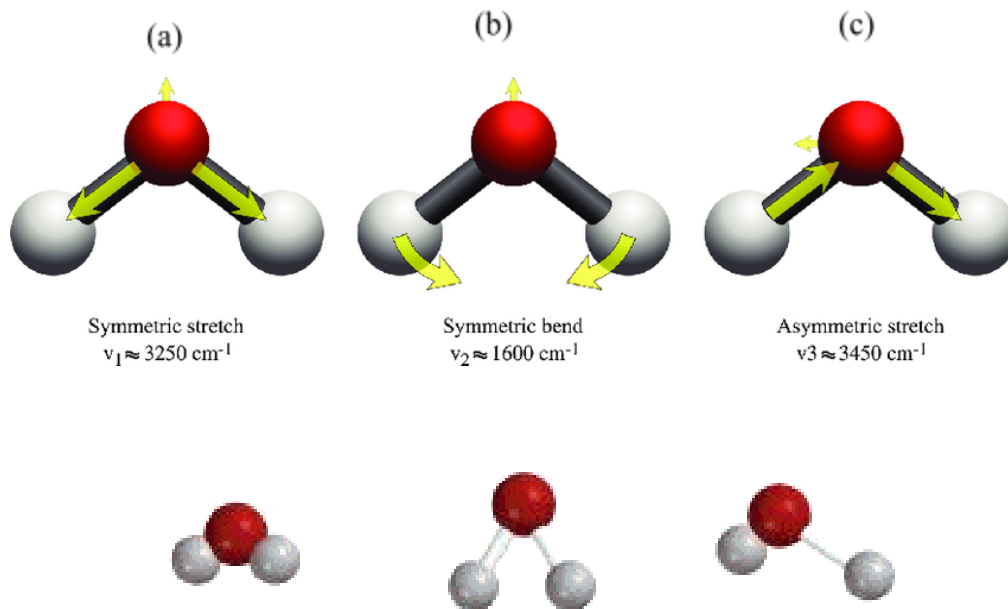


Figura 4. Modos Vibracionales de la molécula de Agua

Se observa en el espectro infrarrojo del agua destilada sin SAI(Figura 1) una mayor relación ruido señal que en el espectro de Agua con energía SAI (Figura 2). En el espectro FT-IR del agua con energía SAI se observa una mayor nitidez del espectro con dos señales bien definidas propias de la vibración de flexión de la molécula de agua cercana a los 1634 cm^{-1} y de la vibración de estiramiento simétrica cercana a 3280 cm^{-1} [1]. En cambio, en el espectro FT-IR del agua sin SAI se identifican muchas señales adicionales a estas dos, posiblemente atribuibles al ruido del instrumento u otra perturbación. También en este espectro se observa en las cercanías del 3000 cm^{-1} dos señales adicionales asignables al modo vibracional de estiramiento asimétrico del agua (3400 cm^{-1})[1].

5.2. Medición de pH

En la Figura 5 se presenta las imágenes que fueron tomadas a un medidor de pH al agua sin SAI (Figura 5a), al agua con SAI (Figura 5b) y al agua con SAI después de 24 h (Figura 5c).

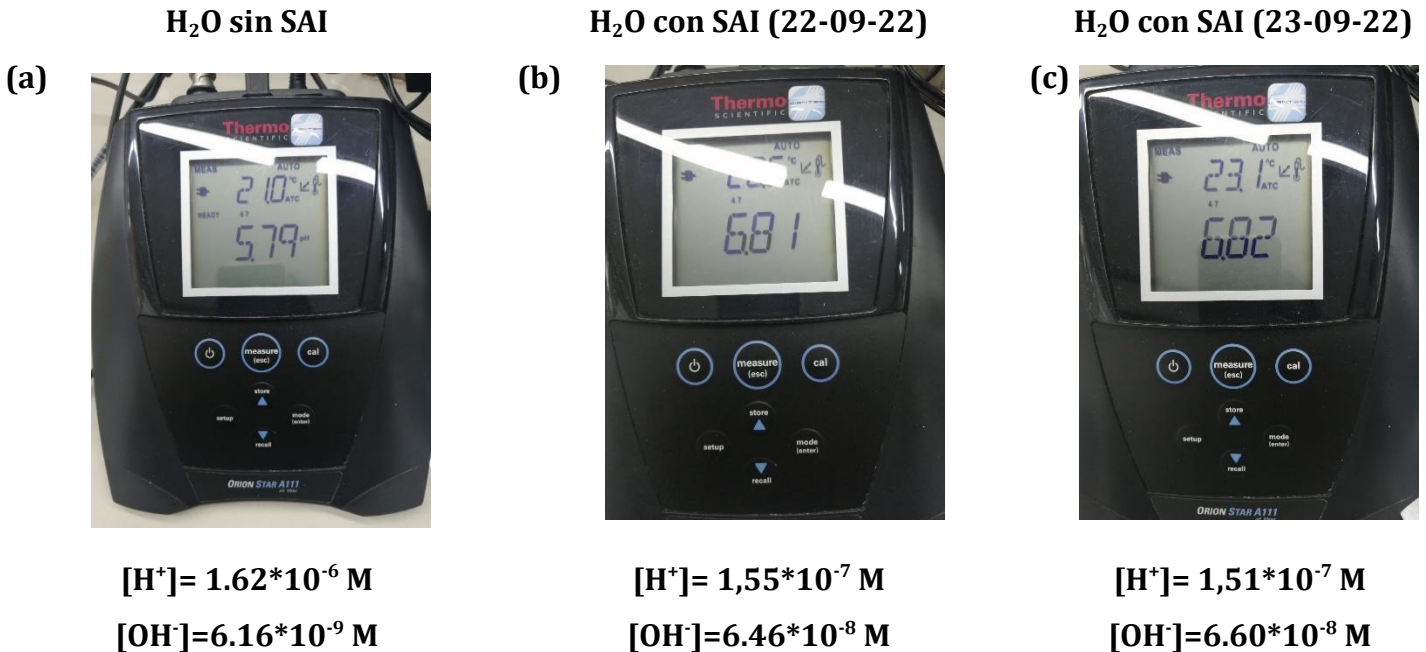


Figura 5. Mediciones de pH del agua destilada, (a) sin SAI, (b) con SAI (22-09-22) y (c) con SAI (23-09-22).

En el estudio del pH se observa que aumenta el pH después de enviar energía SAI de 5.7 a 6.8 aproximadamente. Este valor de pH prácticamente no cambia después de 24 h, tal como se observa en la Figura 5c. Es decir, el agua con energía SAI se acerca más al pH neutro del agua (pH7). Para realizar una comparación en el grado de acidez de ambas aguas, podemos decir que el agua con energía SAI es 10.72 veces más básica o alcalina que el agua sin energía SAI.

$$\frac{[OH^-]_{SAI}}{[OH^-]_{sin\ sin\ SAI}} = 10.72$$

5.3. Análisis de absorción UV

En la Figura 6 se presenta el espectro obtenido con un espectrofotómetro UV en el rango entre 300 nm y 1100 nm (casi infrarrojo cercano)

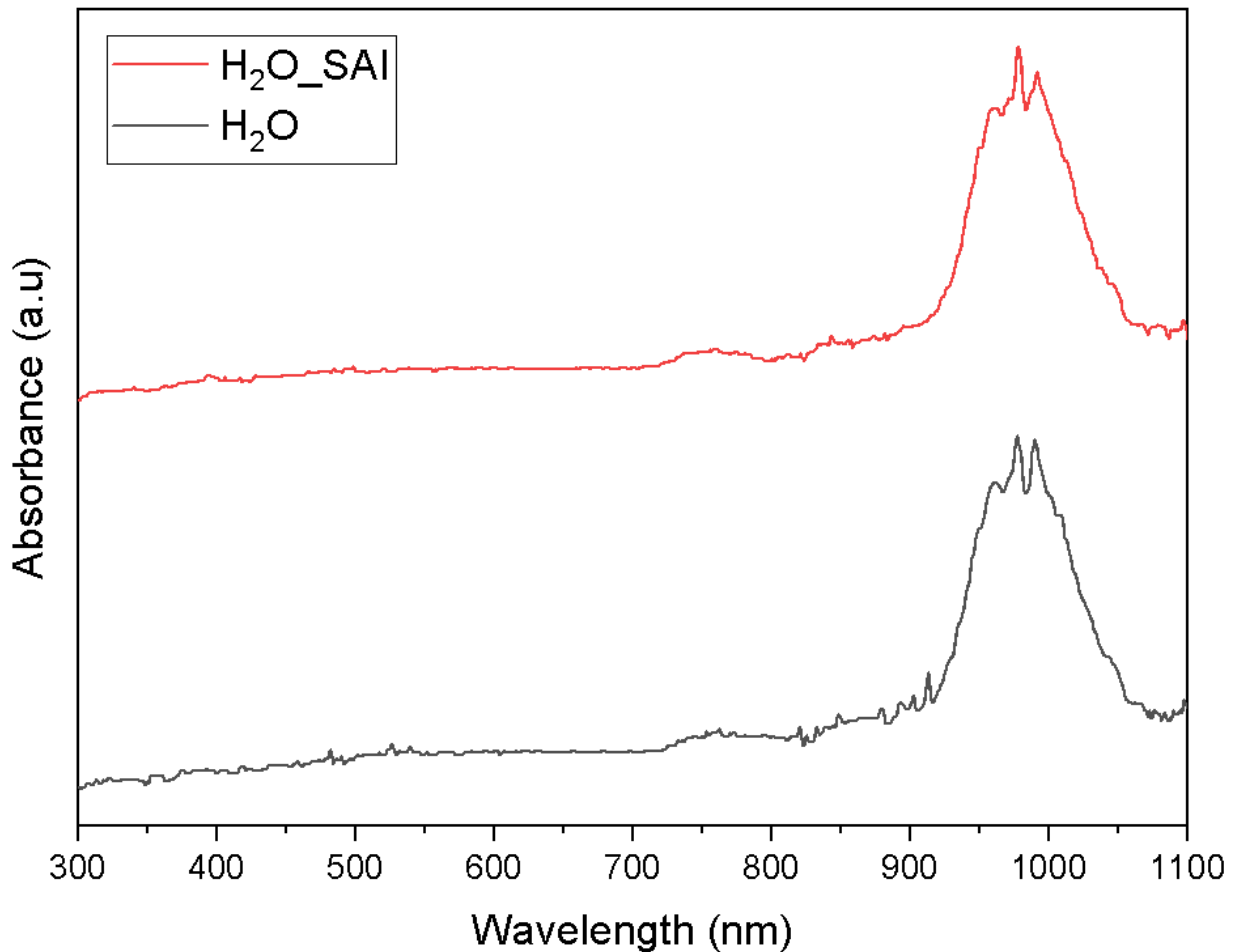


Figura 6. Espectro UV-Vis entre 300 nm y 1100 nm

En el análisis absorción, Figura 6, se observan los picos en el espectro de absorción corresponden a las frecuencias fundamentales y armónicos superiores de las vibraciones de las moléculas de agua entre 900-1100 nm [1]. Sin embargo, es posible apreciar un poco menos de ruido en el espectro del Agua con SAI.

6. Conclusión

Se evidenció mediante análisis de Infrarrojo, UV-Vis y mediciones de pH, que la energía SAI es una energía que induce cambios en las moléculas de agua, que pueden ser observable con estas técnicas. Se observó cambios en los espectros infrarrojo, donde en el espectro infrarrojo del agua con energía SAI se registró un menor nivel de ruido en las mediciones, que podría traducirse en una menor perturbación en la medida y/o una menor cantidad de CO₂ disuelto en el agua. Del mismo modo el pH del agua destilada con SAI aumento en relación al pH del agua sin esta energía, esto quizás se debe a que la energía SAI limpia el agua de aquellos agentes que la acidifican, tal como el CO₂ atmosférico u otros, llevando el pH en las cercanías de la neutralidad (pH 7). También mediante análisis UV-Vis, se observó algo similar a lo ocurrido con los análisis Infrarrojo donde se detectó un menor nivel de ruido en las medidas del agua con SAI, lo cual podría generarse por un menor nivel de perturbaciones, tanto en el instrumento de medida, como en el agua, o en el operador quien generó la medida. Estos resultados obtenidos fueron replicados después de 24h, indicando que la energía SAI puede permanecer en el tiempo, o que quizás esta energía es atemporal (no depende del tiempo). Adicionalmente, es posible inferir que la energía SAI actuó no solamente sobre el agua, sino también en su entorno (instrumentación, operador, espacio físico donde se realizó el ensayo experimental, entre otros).

Como es sabido el agua es esencial para que exista vida en la tierra. Se halla presente en casi todos los procesos que tienen lugar en los organismos vivos, tanto vegetales como animales. Es el componente más abundante de las células. Entre un 70 % y un 80 % del material celular es agua. En el caso del cuerpo humano el contenido de agua es de aproximadamente 60 %. Con esta información uno podría inferir que la energía SAI tendría un efecto importante sobre los seres vivos y extrapolar que la energía SAI tendría esa capacidad de generar cambios, transformaciones sobre los seres vivos y por supuesto sobre el cuerpo humano y que esta también podría permanecer en el tiempo.

Referencias

[] Stomp, M., Huisman, J., Stal, L. et al. Colorful niches of phototrophic microorganisms shaped by vibrations of the water molecule. *ISME J* 1, 271–282 (2007). <https://doi.org/10.1038/ismej.2007.59>.

Declaración del análisis experimental

Dra. Lorena Molina, de profesión Química y responsable de los experimentos realizados, certifica que los ensayos experimentales y los análisis fueron realizados de acuerdo con lo descrito en la sección de metodologías. Adicionalmente, declara que los resultados experimentales informados corresponden a la información entregada directamente por los instrumentos de análisis utilizados en este estudio, sin realizar ninguna manipulación o modificación de estos. Así mismo confirma que los instrumentos de análisis fueron debidamente calibrados antes de cada medición experimental.

Toda esta información permite ratificar la autenticidad del trabajo realizado en esta investigación.

Lorena Molina C.
Química de la Universidad de Chile
Doctora en Química de la Universidad de Chile.

Santiago de Chile, septiembre 2022